

УДК 539.3

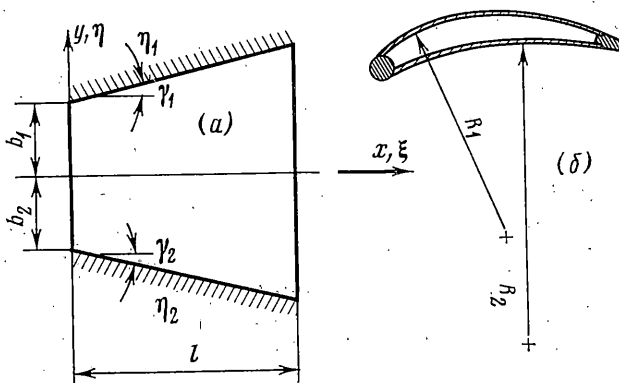
К РАСЧЕТУ ПРОФИЛИРОВАННЫХ ЛОПАТОК РАДИАЛЬНЫХ НАГНЕТАТЕЛЕЙ, ПОДКРЕПЛЕННЫХ РЕБРАМИ ЖЕСТКОСТИ

ПУХЛИЙ В. А.

Расчету на прочность рабочих лопаток радиальных нагнетателей посвящен ряд работ [1–5]. Методика расчета на прочность листовых лопаток, приближающихся к круговым цилиндрическим оболочкам средней длины, изложена в [1], при этом использовались уравнения оболочек с большим показателем изменениямости. Оригинальный подход, при котором колесо радиального нагнетателя рассчитывалось как трехслойная осесимметричная оболочка и при этом сама лопатка схематизировалась в виде заполнителя, изложен в [2]. В [3] рассматривался расчет цилиндрической лопатки переменной толщины, для анализа использовался метод Ритца. Расчет изотропных и анизотропных лопаток радиальных турбомашин дан в [4, 5]. При решении задач использовался подход, основанный на комбинации вариационного метода и модифицированного метода последовательных приближений [6].

В публикуемой работе рассматривается расчет на прочность крыловидных пустотелых лопаток радиальных нагнетателей, подкрепленных ребрами жесткости. Решение краевой задачи для системы эллиптических уравнений, описывающих напряженно-деформированное состояние лопатки, строится на основе метода, изложенного в [7].

1. Постановка задачи. Пустотелая профилированная лопатка радиального нагнетателя, представляющая собой конструкцию, состоящую из двух пологих цилиндрических панелей, подкрепленных по входной и вы-



Фиг. 1

ходной кромкам бруском круглого либо более сложного сечения, приведена на фиг. 1.

Напряженно-деформированное состояние каждой панели описывается линейными уравнениями теории пологих оболочек Власова – Доннела, которые в системе безразмерных координат $\xi = x/l$ и $\eta = y/b_1$, имеют вид

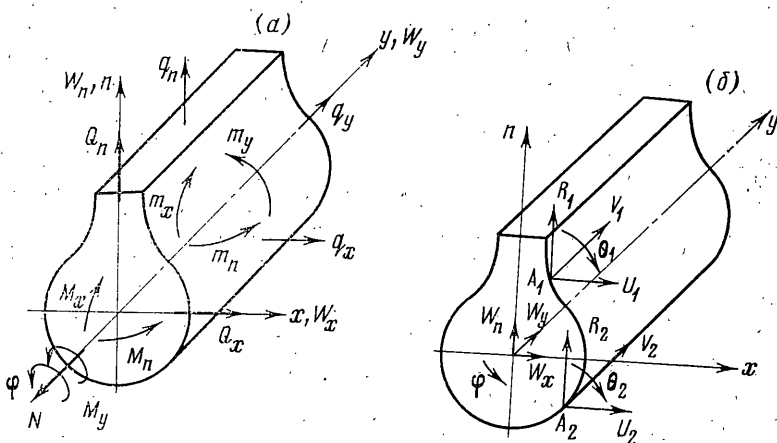
$$\frac{\partial^2 u}{\partial \xi^2} - \frac{1-\nu}{2} m^2 \frac{\partial^2 u}{\partial \eta^2} + \frac{1+\nu}{2} m \frac{\partial^2 v}{\partial \xi \partial \eta} + \frac{l}{R} \frac{\partial w}{\partial \xi} = - \frac{(1-\nu^2) l^2 p}{E h^2}$$

$$\begin{aligned} \frac{1+v}{2}m \frac{\partial^2 u}{\partial \xi \partial \eta} + m^2 \frac{\partial^2 v}{\partial \eta^2} + \frac{1-v}{2} \frac{\partial^2 v}{\partial \xi^2} + \frac{vml}{R} \frac{\partial w}{\partial \eta} = 0 \\ 12 \frac{l^3}{Rh^2} \frac{\partial u}{\partial \xi} + 12 \frac{vml^3}{Rh^2} \frac{\partial v}{\partial \eta} + \nabla_m^4 w + 12 \frac{l^4}{R^2 h^2} w = 12 \frac{(1-v^2)ql^4}{Eh^4} \\ q = \gamma \omega^2 h R_k \cos \beta_2 / g, \quad p = \gamma \omega^2 h (R_k \sin \beta_2 - \xi l) / g \\ \nabla_m^4 = \frac{\partial^4}{\partial \xi^4} + 2m^2 \frac{\partial^4}{\partial \xi^2 \partial \eta^2} + m^4 \frac{\partial^4}{\partial \eta^4} \\ u = u^\circ / h, \quad v = v^\circ / h, \quad w = w^\circ / h \end{aligned} \quad (1.1)$$

Здесь $u^\circ, v^\circ, w^\circ$ — компоненты перемещений, $m = l/b_1$ — геометрический параметр лопатки, q и p — нормальная и тангенциальная составляющие центробежной нагрузки, β_2 — угол выхода потока.

Границные условия на краях, прилегающих к дискам, соответствуют условиям жесткого защемления.

Рассмотрим условия упругого сопряжения панелей между собой по входной и выходной кромкам. В целях общности рассматриваемой задачи



Фиг. 2

профиль сечения бруса будем считать произвольным. На фиг. 2, а показан элемент бруса. Здесь W_n, W_x, W_y — перемещения центра тяжести сечения бруса по осям n, x, y , φ — угол поворота сечения бруса от оси x к n , M_n, M_x, M_y — изгибающие и крутящий моменты, Q_n и Q_x — поперечные силы, q_n, q_x — проекции на оси координат интенсивности внешней нагрузки, m_n, m_x, m_y — интенсивность внешних изгибающих и крутящего моментов, N — усилие, действующее на элемент бруса.

Из уравнений равновесия элемента бруса следует

$$\begin{aligned} d^2 M_n / dy^2 = q_n + dm_n / dy, \quad d^2 M_x / dy^2 = q_x + dm_x / dy \\ dM_y / dy = m_y, \quad dN / dy = -q_y \end{aligned} \quad (1.2)$$

Запишем деформационные соотношения

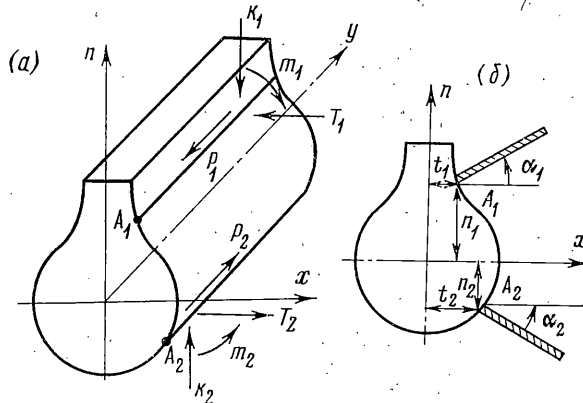
$$M_n = EI_x \frac{d^2 W_n}{dy^2}, \quad M_x = EI_n \frac{d^2 W_x}{dy^2}, \quad M_y = -GI_k \frac{d\varphi}{dy}, \quad N = EF \frac{dW_y}{dy} \quad (1.3)$$

где I_x, I_n — моменты инерции сечения относительно главного центра осей x и n , GI_h — жесткость на кручение.

Подставляя выражения (1.3) в (1.2), получим

$$\begin{aligned} EI_x \frac{d^4 W_n}{dy^4} &= q_n + \frac{dm_n}{dy}, \quad EI_n \frac{d^4 W_x}{dy^4} = q_x + \frac{dm_x}{dy} \\ GI_h (d^2 \Phi / dy^2) &= -m_y, \quad EF (d^2 W_y / dy^2) = -q_y \end{aligned} \quad (1.4)$$

Перейдем к рассмотрению схемы нагружения бруса. К точке A_1 с координатами t_1 и n_1 подходит верхняя панель лопатки, а к точке A_2 с коор-



Фиг. 3

динатами t_2 и n_2 (фиг. 3) — нижняя. Рассмотрим геометрические соотношения для точек $A_1(n_1, t_1)$ и $A_2(n_2, t_2)$. Из фиг. 2, б имеем

$$\begin{aligned} R_1 &= W_n + \varphi t_1, \quad U_1 = W_x - \varphi n_1, \quad \theta_1 = -\varphi \\ R_2 &= W_n + \varphi t_2, \quad U_2 = W_x - \varphi n_2, \quad \theta_2 = -\varphi \end{aligned} \quad (1.5)$$

На основе гипотезы плоских сечений получим

$$\begin{aligned} V_1 &= W_y - \frac{dW_n}{dy} n_1 - \frac{dW_x}{dy} t_1 \\ V_2 &= W_y - \frac{dW_n}{dy} n_2 - \frac{dW_x}{dy} t_2 \end{aligned} \quad (1.6)$$

Запишем соотношения, связывающие R_1, U_1, V_1, θ_1 и R_2, U_2, V_2, θ_2 с перемещениями краев панелей

$$\begin{aligned} U_1 &= u^{(1)} \cos \alpha_1 - w^{(1)} \sin \alpha_1, \quad \theta_1 = -\partial w^{(1)} / \partial x \\ U_2 &= u^{(2)} \cos \alpha_2 + w^{(2)} \sin \alpha_2, \quad \theta_2 = -\partial w^{(2)} / \partial x \\ R_1 &= w^{(1)} \cos \alpha_1 + u^{(1)} \sin \alpha_1, \quad V_1 = v^{(1)} \\ R_2 &= w^{(2)} \cos \alpha_2 - u^{(2)} \sin \alpha_2, \quad V_2 = v^{(2)} \end{aligned} \quad (1.7)$$

Из выражений (1.5), (1.6) после некоторых преобразований получим первую группу условий сопряжения панелей с бруском

$$R_1 - \varphi t_1 = R_2 - \varphi t_2, \quad U_1 + \varphi n_1 = U_2 + \varphi n_2, \quad \theta_1 = \theta_2 \quad (1.8)$$

$$\begin{aligned}
 V_1 + \frac{1}{2} n_1 \left[\frac{dR_1}{dy} + \frac{dR_2}{dy} + \frac{(t_1+t_2)}{2} \left(\frac{d\theta_1}{dy} + \frac{d\theta_2}{dy} \right) \right] + \\
 + \frac{1}{2} t_1 \left[\frac{dU_1}{dy} + \frac{dU_2}{dy} - \frac{(n_1+n_2)}{2} \left(\frac{d\theta_1}{dy} + \frac{d\theta_2}{dy} \right) \right] = \\
 = V_2 + \frac{1}{2} n_2 \left[\frac{dR_1}{dy} + \frac{dR_2}{dy} + \frac{(t_1+t_2)}{2} \left(\frac{d\theta_1}{dy} + \frac{d\theta_2}{dy} \right) \right] + \\
 + \frac{1}{2} t_2 \left[\frac{dU_1}{dy} + \frac{dU_2}{dy} - \frac{(n_1+n_2)}{2} \left(\frac{d\theta_1}{dy} + \frac{d\theta_2}{dy} \right) \right]
 \end{aligned}$$

Рассмотрим вторую группу условий сопряжения. Из фиг. 2, 3 имеем

$$\begin{aligned}
 q_n = -K_1 + K_2, \quad q_x = -T_1 + T_2, \quad q_y = -P_1 + P_2 \\
 m_y = -m_1 + m_2 - K_1 t_1 + K_2 t_2 + T_1 n_1 - T_2 n_2 \\
 m_n = -P_1 t_1 + P_2 t_2, \quad m_x = -P_1 n_1 + P_2 n_2
 \end{aligned} \tag{1.9}$$

Подставляя выражения (1.9) в уравнения (1.4), получим

$$\begin{aligned}
 EI_x \frac{d^4 W_n}{dy^4} = -K_1 + K_2 - \frac{dP_1}{dy} t_1 + \frac{dP_2}{dy} t_2 \\
 EI_n \frac{d^4 W_x}{dy^4} = -T_1 + T_2 - \frac{dP_1}{dy} n_1 + \frac{dP_2}{dy} n_2 \\
 GI_h \frac{d^2 \Phi}{dy^2} = m_1 - m_2 + K_1 t_1 - K_2 t_2 - T_1 n_1 + T_2 n_2 \\
 EF(d^2 W_y/dy^2) = P_1 - P_2
 \end{aligned} \tag{1.10}$$

Запишем соотношения, связывающие K_1, T_1, m_1, P_1 и K_2, T_2, m_2, P_2 с усилиями в панелях.

$$\begin{aligned}
 T_1 = -(N_1^{(1)} \cos \alpha_1 + Q_1^{(1)} \sin \alpha_1), \quad m_1 = -M_1^{(1)} \\
 K_1 = -(N_1^{(1)} \sin \alpha_1 - Q_1^{(1)} \cos \alpha_1), \quad P_1 = -N_{12}^{(1)} \\
 T_2 = N_1^{(2)} \cos \alpha_2 - Q_1^{(2)} \sin \alpha_2, \quad m_2 = M_1^{(2)} \\
 K_2 = -(N_1^{(2)} \sin \alpha_2 + Q_1^{(2)} \cos \alpha_2), \quad P_2 = N_{12}^{(2)}
 \end{aligned} \tag{1.11}$$

Подставляя выражения для W_n, W_x, Φ и W_y из (1.5), (1.6) в соотношения (1.10), получим вторую группу условий сопряжения панелей с бруском

$$\begin{aligned}
 \frac{1}{2} EI_x \left[\frac{d^4 R_1}{dy^4} + \frac{d^4 R_2}{dy^4} + \frac{1}{2} (t_1+t_2) \left(\frac{d^4 \theta_1}{dy^4} + \frac{d^4 \theta_2}{dy^4} \right) \right] = \\
 = -K_1 + K_2 - \frac{dP_1}{dy} t_1 + \frac{dP_2}{dy} t_2 \\
 \frac{1}{2} GI_h \left(\frac{d^2 \theta_1}{dy^2} + \frac{d^2 \theta_2}{dy^2} \right) = m_1 - m_2 - K_1 t_1 - K_2 t_2 - T_1 n_1 + T_2 n_2 \\
 \frac{1}{2} EI_n \left[\frac{d^4 U_1}{dy^4} + \frac{d^4 U_2}{dy^4} - \frac{1}{2} (n_1+n_2) \left(\frac{d^4 \theta_1}{dy^4} + \frac{d^4 \theta_2}{dy^4} \right) \right] =
 \end{aligned}$$

$$\begin{aligned}
 &= -T_1 + T_2 - \frac{dP_1}{dy} n_1 + \frac{dP_2}{dy} n_2 \\
 &+ \frac{1}{2} EF \left\{ \frac{d^2 V_1}{dy^2} + \frac{d^2 V_2}{dy^2} + \frac{(n_1+n_2)}{2} \left[\frac{d^3 R_1}{dy^3} + \frac{d^3 R_2}{dy^3} + \right. \right. \\
 &+ \frac{(t_1+t_2)}{2} \left(\frac{d^3 \theta_1}{dy^3} + \frac{d^3 \theta_2}{dy^3} \right) \left. \right] + \frac{(t_1+t_2)}{2} \left[\frac{d^3 U_1}{dy^3} + \frac{d^3 U_2}{dy^3} - \right. \\
 &\left. \left. - \frac{(n_1+n_2)}{2} \left(\frac{d^3 \theta_1}{dy^3} + \frac{d^3 \theta_2}{dy^3} \right) \right] \right\} = P_1 - P_2
 \end{aligned} \quad (1.12)$$

Подставляя в условия сопряжения (1.8), (1.12) выражения (1.7) и соотношения для тангенциальных усилий, моментов и обобщенных сил в панелях, получим условия сопряжения панелей лопатки с бруском в функциях перемещений. Следует заметить, что условия упругого сопряжения оболочек между собой должны быть поставлены на обоих краях лопатки, т. е. при $\xi=0$ и 1. В дальнейшем для каждой панели лопатки решается система уравнений (1.1) при заданных граничных условиях и условиях сопряжения панелей с бруском (1.8), (1.12).

2. Решение краевой задачи. К решению краевой задачи для системы уравнений (1.1) применим аналитический подход, основанный на сочетании метода интегральных соотношений и модифицированного метода последовательных приближений [7]. В соответствии с методом интегральных соотношений представим исходную систему (1.1) в дивергентной форме

$$\frac{\partial \mathbf{X}}{\partial \xi} + \frac{\partial \mathbf{Y}}{\partial \eta} + \mathbf{L} = 0, \quad \mathbf{L} = \mathbf{B}\mathbf{X} + \mathbf{b} \quad (2.1)$$

$$\mathbf{X} = \{X_i\} = \{u, v, w, Z_1, Z_2, Z_3, Z_4, Z_5\}$$

$$\mathbf{Y} = B_0 X + B_1 \frac{\partial X}{\partial \eta} + B_2 \frac{\partial^2 X}{\partial \eta^2} + B_3 \frac{\partial^3 X}{\partial \eta^3}$$

$$Z_1 = \frac{\partial u}{\partial \xi}, \quad Z_2 = \frac{\partial v}{\partial \xi}, \quad Z_3 = \frac{\partial w}{\partial \xi}, \quad Z_4 = \frac{\partial Z_3}{\partial \xi}, \quad Z_5 = \frac{\partial Z_4}{\partial \xi}$$

При этом элементы матриц $B_r = \{b_{mn,s}\}$ и $B = \{b_{mn}\}$ ($s=0, 1, 2, 3; m, n=1, 2, \dots, 8$) принимают следующие значения (остальные элементы равны нулю):

$$\begin{aligned}
 b_{28,0} &= 12 \frac{vml^3}{Rh^2}, \quad b_{35,0} = \frac{2vml}{(1-v)R}, \quad b_{45,0} = \frac{1+v}{1-v} m \\
 b_{54,0} &= \frac{1+v}{2} m, \quad b_{14,1} = \frac{1-v}{2} m, \quad b_{25,1} = \frac{2m^2}{1-v} \\
 b_{78,1} &= 2m^2, \quad b_{38,3} = m^4, \quad b_{38} = 12 \frac{l^4}{R^2 h^2}, \quad b_{48} = 12 \frac{l^3}{Rh^2}, \quad b_{64} = \frac{l}{R} \\
 b_{41} &= b_{52} = b_{63} = b_{76} = b_{87} = -1
 \end{aligned}$$

Компоненты вектора \mathbf{b} равны

$$\begin{aligned}
 b_4 &= (1-v^2) l^2 p / (Eh^2), \quad b_8 = -12(1-v^2) ql^4 / (Eh^4) \\
 b_1 &= b_2 = b_3 = b_5 = b_6 = b_7 = 0
 \end{aligned} \quad (2.2)$$

Решение системы (2.1) ищем в виде

$$X_i = \sum_{j=1}^n X_{ij}(\xi) P_j(\xi, \eta) \quad (i=1, 2, \dots, 8) \quad (2.3)$$

где в качестве системы аппроксимирующих функций $P_j(\xi, \eta)$ выбираются полиномы Якоби, определяемые следующим образом:

$$P_j(\xi, \eta) = P_1(\xi, \eta) \sum_{r=1}^n \left[\eta - \frac{(1+\alpha)r}{2} \right]^{j-1}$$

$$P_1(\xi, \eta) = \eta^4 - 2(1+\alpha)r\eta^3 + (1-4\alpha+\alpha^2)r^2\eta^2 - 2\alpha(1+\alpha)r^3\eta + \alpha^2r^4, \quad r=1+k_1m\xi$$

Здесь r — уравнение наклонной стороны лопатки, $\alpha = -b_2/b_1$ — геометрический параметр лопатки. Полиномы $P_j(\xi, \eta)$ ортогональны на отрезке $[r, \alpha r]$ и, образуя систему линейно-независимых функций, удовлетворяют граничным условиям жесткого защемления на косых краях лопатки. Выбирая в качестве весовых функций также полиномы $P_j(\xi, \eta)$, после применения процедуры метода интегральных соотношений к исходной системе уравнений (2.1) получим систему обыкновенных дифференциальных уравнений порядка $8n$ с переменными коэффициентами

$$\frac{dX_m}{d\xi} = \sum_{v=1}^{m^*} A_{m,v} X_v + f_m \quad (m=1, 2, \dots, m^*) \quad (2.4)$$

где v — номер неизвестной функции, m — номер уравнения ($m^*=16$).

Аналитическое решение системы (2.3) строится модифицированным методом последовательных приближений [6, 7]. В соответствии с методом переменные коэффициенты $A_{v,m}$ и свободные члены f_m представим полиномами, непрерывными на интервале изменения независимой переменной

$$A_{v,m} = \sum_{k=0}^q a_{v,m,k} \xi^k, \quad f_m = \sum_{k=0}^q f_{m,k} \frac{\xi^k}{k!}$$

Общее решение системы уравнений (2.3), полученное модифицированным методом последовательных приближений, имеет вид

$$X_m = \sum_{\mu=1}^{m^*} C_{\mu} \left[\frac{\xi^{\mu-m}}{(\mu-m)!} \delta + \sum_{n=1}^{\infty} X_{m,\mu,n} \right] + \sum_{j=0}^q b_{m,j,0} \frac{\xi^{j+1}}{(j+1)!} + \sum_{n=2}^{\infty} X_{m,n} \quad (2.5)$$

$$X_{m,\mu,n} = \sum_{j=1}^{\beta} b_{m,\mu,n,j} \frac{\xi^{n+j-1}}{(n+j-1)!}, \quad X_{m,n} = \sum_{j=1}^{\beta} b_{m,n,j} \frac{\xi^{n+j-1}}{(n+j-1)!}$$

$$\beta = n(q+3)-2$$

где $b_{m,j,0} = f_m$ при $j=k$, μ — номер фундаментальной функции, C_{μ} — постоянные интегрирования, $\delta=1$, если $m=\mu$ и $\delta=0$ для остальных μ .

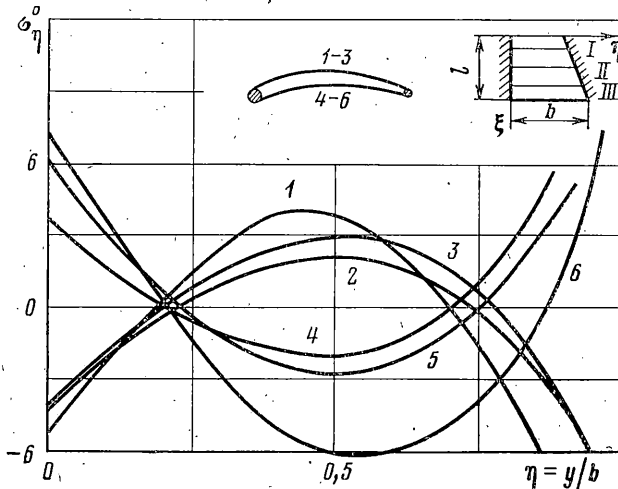
Коэффициенты $b_{m,\mu,n,j}$ и $b_{m,n,j}$ определяются при помощи коэффициентов предыдущего приближения по рекуррентным формулам:

$$b_{m,\mu,n,j} = \sum_{v=1}^{m^*} \sum_{h=0}^q a_{v,m,h} b_{v,\mu,(n+1),(j-h)} \frac{1}{n+j-1} \prod_{\gamma=0}^h (n+j-1-\gamma)$$

$$b_{m,n,j} = \sum_{v=1}^{m^*} \sum_{h=0}^q a_{v,m,h} b_{v,(n-1),(j-h)} \frac{1}{n+j} \prod_{\gamma=0}^h (n+j-\gamma)$$

Постоянные C_μ , входящие в общее решение системы (2.5), находятся из условий сопряжения панелей с бруском по входной и выходной кромкам лопатки.

3. Пример. В соответствии с изложенным алгоритмом была составлена ФОРТРАН-программа реализации разработанного аналитического решения применительно к ЭВМ М-4030. Проводился расчет лопатки нагнетателя типа 0,7-160, подкрепленной по входной и выходной кромкам стержнями круглого сечения. Исходные данные для колеса: $R_k=0,4$ м, $\beta_2=0,388$ рад, $n=16,6$ об / с, $z=6$ — количество лопаток;



Фиг. 4

для лопатки: $l=b_i=0,2$ м, $h=0,002$ м, $\alpha=0$. Лопатка подкреплена по входной кромке стержнем круглого сечения диаметром $d_1=0,016$ м и по выходной кромке $d_2=0,008$ м.

На фиг. 4 приведены эпюры распределения безразмерных напряжений $\sigma_y=\sigma_y l^2 (1-v^2) / (Eh^2)$ в основных сечениях лопатки. Проведенное тензометрирование показало, что расхождение результатов расчета с данными тензометрирования не превосходит 20%.

ЛИТЕРАТУРА

1. Бородавко В. А. Расчет лопаток центробежных вентиляторов на прочность.— Прикл. механика, 1958, т. 4, вып. 3, с. 17.
2. Демьяненко И. В. Расчет на прочность рабочих колес центробежных нагнетателей.— Прочность и динамика авиационных двигателей: Сб. статей. М.: Машиностроение, 1969, вып. 5, с. 73.
3. Марийчук И. Ф., Горлышкин В. Т. Изгиб пологой незамкнутой цилиндрической оболочки переменной толщины.— Гидроаэромеханика и теория упругости: Сб. статей. Днепропетровский гос. ун-т, 1975, вып. 19, с. 102.
4. Пухлий В. А. Расчет напряжений в лопатках радиальных турбомашин.— Прикл. механика, 1976, т. 12, № 6, с. 93.

5. Пухлий В. А. Приложение теории пологих анизотропных оболочек к расчету на прочность рабочих лопаток радиальных турбомашин.— Проблемы прочности, 1976, № 12, с. 55.
6. Григорьев Э. И., Попович В. Е., Пухлий В. А. Изгиб сложнонагруженных параллелограммных пластин.— Изв. АН СССР. МТТ, 1972, № 3, с. 117.
7. Пухлий В. А. Метод аналитического решения двумерных краевых задач для систем эллиптических уравнений.— Ж. вычисл. матем. и матем. физ., 1978, т. 18, № 5, с. 1275.

Москва

Поступила в редакцию
3.VII.1979